

## شناسایی، همسانه سازی و تحلیل ساختار ژن تیوردوکسین *h* (*VvTrxh10*) جدا شده از بافت حبه انگور (*Vitis vinifera* L.) رقم یاقوتی

### Identification and Cloning of a Thioredoxin *h* (*VvTrxh10*) Gene Isolated from Grape (*Vitis vinifera* L.) cv. Yaquti Berry Tissue

سید شرفالدین موسوی<sup>۱</sup>، رحیم حداد\*<sup>۲</sup>، قاسمعلی گروسی<sup>۲</sup> و رامین حسینی<sup>۲</sup>

#### چکیده

جهت بررسی ساختار ژن تیوردوکسین، RNA کل از بافت حبه انگور (*Vitis vinifera* L.) رقم یاقوتی استخراج و با استفاده از روش واکنش زنجیره‌ای پلیمرز نسخه برداری معکوس (RT-PCR)، کتابخانه cDNA تهیه گردید. سپس ژن تیوردوکسین *h* تحت عنوان *VvTrxh10* سنتز، جداسازی و در ناقل پلاسمیدی pUC19 همسانه سازی شد. نتایج توالی‌یابی نشان داد که قطعه همسانه سازی شده از ژن تیوردوکسین *h* حاوی یک چارچوب قرائت آزاد منفرد به طول ۳۴۵ bp بوده و پروتئینی با ۱۱۴ اسید آمینه را کد می‌کند. بررسی ترجمه پروتئینی توالی رمز کننده نشان داد که این ژن حاوی جایگاه فعال غیر معمول RCGLC، اسید آمینه تریپتوفان ویژه W و یک موتیف ساختاری درگیر در انتقال سلول به سلول در انتهای آمینوی (MAEE) خود می‌باشد. بررسی فیلوژنتیکی و نیز هم‌ردیف سازی چندگانه نشان داد که این آیزوفرم متعلق به زیرگروه I از تیوردوکسین‌های *h* است. علاوه بر آن، توالی پروتئینی پیش‌بینی شده، شباهت زیاد آن را با ژن تیوردوکسین *h* سایر گیاهان در بانک ژن NCBI نشان داد.

واژه‌های کلیدی: انگور، تیوردوکسین، همسانه سازی، بررسی توالی، رقم یاقوتی

۱ و ۲. به ترتیب دانش آموخته کارشناسی ارشد و استادیاران گروه بیوتکنولوژی کشاورزی، دانشگاه بین‌المللی امام خمینی (ره)، قزوین  
\*: نویسنده مسئول

WC[G/P]PC می‌باشد. در این بین معمول‌ترین جایگاه فعال، جایگاه WCGPC بوده که در هر ۳ زیرگروه تیوردوکسین‌های نوع *h* و هم‌چنین تیوردوکسین‌های میتوکندریایی و کلروپلاستی فراوان‌ترین حالت را به‌خود اختصاص داده است، در حالی‌که جایگاه فعال WCPPC فقط در تعدادی از آیزوفرم‌ها و آن‌هم زیر گروه I وجود دارد. تمام تیوردوکسین‌های نوع *h* که تاکنون شناخته شده‌اند، حداقل یک ویژگی متمایز برای شناسایی دارند و آن هم وجود یک اسید آمینه تریپتوفان (Trp) است که در توالی پروتئینی به‌صورت W نشان داده می‌شود. این اسید آمینه ضریب انهدام تصاعدی معادل ۲۹۰mm را به تیوردوکسین‌ها می‌دهد (مائیدا و همکاران، ۲۰۰۸؛ سراتو و همکاران، ۲۰۰۸).

گیاهان عالی و بروفیت‌ها نسبت به جلبک‌ها، سیانوباکتری‌ها و موجودات غیر فتوسنتزی، هم شکلی‌های بیشتری از تیوردوکسین‌ها را دارا می‌باشند (چیبانی و همکاران، ۲۰۰۹). سلول‌های بذر غلات با بیان بالای ژن تیوردوکسین در طول جوانه‌زنی و بلوغ به‌مکانیزم‌هایی برای حفاظت در برابر تنش‌های اکسیداتیو مجهز می‌شوند (پالیدو و همکاران، ۲۰۰۹). تیوردوکسین *h* در گندم، جو و لگوم‌هایی چون *Medicago truncatula*، به‌عنوان پروتئین تنظیمی مرکزی در بذرها، عمل می‌نماید (لی و همکاران، ۲۰۰۹). این پروتئین به‌وسیله احیای گروه دی‌سولفید در پروتئین‌های ذخیره‌ای بذر، آنزیم‌ها و بازدارنده‌های آنزیمی فعالیت نموده و بدین‌وسیله سبب تسهیل در امر جوانه زنی می‌گردد. در گیاه آرابیدوپسیس، جایگاه ارتباط تیوردوکسین با چرخه کنترلی ردوکس در بخش لومن کلروپلاست نشان داد که واکنش‌هایی که توسط چرخه ردوکس در لومن کلروپلاست کنترل می‌شوند، نقشی اساسی در عملکرد فتوسیستم II و تنظیم شدت نور ایفا می‌نمایند (هال و همکاران، ۲۰۱۰). هم‌چنین نتایج همسانه سازی ژن‌های تیوردوکسین و تیوردوکسین ردوکتاز مربوط به باکتری *Anabena ferrooxidans* و بیان آن‌ها در باکتری *Escherichia coli* نشان داد که اسید آمینه‌های سیستمین شماره ۳۳ و ۳۶ از ژن تیوردوکسین و اسید آمینه‌های سیستمین شماره ۱۴۲ و ۱۴۵ از ژن تیوردوکسین ردوکتاز بقایای جایگاه فعال را تشکیل می‌دهند (وانگ و همکاران، ۲۰۱۰).

در این مطالعه، جداسازی و همسانه‌سازی توالی کامل cDNA کدکننده تیوردوکسین نوع *h*، با شماره دستیابی NCBI GenBank در پایگاه توالی نوکلئوتیدی HM622264 تحت عنوان *VvTrxh10*، از بافت حبه انگور رقم یاقوتی

تیوردوکسین‌ها پروتئین‌هایی فراگیر و از لحاظ وزنی کوچک (معمولاً شامل ۱۰۰ تا ۱۲۰ آمینو اسید) بوده و دارای پل دی‌سولفیدی واکنش‌پذیر و به‌شدت انفعالی هستند که همه آن‌ها دارای توالی‌های حفاظت شده WC[G/P]PC در ساختار خود می‌باشند (Buchanan, 1991Y., Cha et al. 1995 and Hagglund, et al. 2008). تیوردوکسین‌ها دارای نقش‌های مهم از جمله کنترل عوامل نسخه برداری، اکسایش و کاهش تیول، انتقال الکترون به ریبونوکلوئوتید ردوکتاز و حتی دفاع در برابر شرایط اکسیداتیو و مرگ سلولی هستند و هم‌چنین بر عوامل رشد سلولی تاثیر دارند (چیو و همکاران، ۲۰۰۸؛ چیبانی و همکاران، ۲۰۰۹). در پستانداران فرآیند اکسایش و کاهش تیوردوکسین‌ها تنها با پیوند دی‌سولفید صورت نمی‌پذیرد، بلکه گاهی ممکن است پیش ماده‌های دیگری نظیر سولفید، لیپید هیدروپروکسید و آب اکسیژنه نیز در این فرآیند دخالت نمایند (ساندالوا و همکاران، ۲۰۰۱). این مولکول‌ها در سلول‌های باکتریایی و جانوری، در واکنش‌های متعددی که نیاز به احیای پیوند دی‌سولفید در پروتئین‌ها و یا آنزیم‌های هدف دارند، از جمله در واکنش‌های تیول دی‌سولفید، به‌وسیله باقیمانده سیستمین جایگاه فعال خود، شرکت کرده که این امر به آن‌ها اجازه احیای پیوند دی‌سولفید در پروتئین‌های هدف را می‌دهد (زونگ و هولمگرن، ۲۰۰۰؛ هاشمی و همکاران، ۲۰۰۶؛ گلاند و همکاران، ۲۰۰۸؛ هارا و همکاران، ۲۰۰۶). در گیاهان نیز تیوردوکسین‌ها دارای نقش‌های بسیار ویژه و منحصر به فردی می‌باشند. بهترین مثال در این زمینه، سیستم تنظیمی اکسایش-کاهش توسط آنزیم‌های کلروپلاستی است. تیوردوکسین‌ها هم‌چنین پروتئین‌های ذخیره‌ای بذر را طی فرآیند جوانه زنی تحریک می‌نمایند (چو و همکاران، ۱۹۹۹؛ سنگ و همکاران، a و b ۲۰۰۷). تیوردوکسین‌ها، خانواده‌های چند ژنی بزرگی را با موقعیت‌های درون سلولی مختلف، در گیاهان تشکیل می‌دهند. سلول‌های گیاهی فتوسنتزی دارای دو سیستم کاهشی متفاوت و منحصر به‌فرد هستند که یکی از آن‌ها غیر کلروپلاستی بوده و وابسته به NADPH (به‌عنوان دهنده الکترون) است و دیگری کلروپلاستی بوده و وابسته به فرودوکسین احیا شده توسط نور می‌باشد (بالمر و همکاران، ۲۰۰۶). تیوردوکسین‌های نوع *h* به سه زیرگروه مختلف I، II و III تقسیم‌بندی می‌شوند که وجه تشابه آن‌ها با سایر گروه‌های تیوردوکسین به استثناء آیزوفرم‌هایی که جایگاه فعال-شان به‌صورت CXXX است، در داشتن جایگاه فعال

توضیح داده می‌شود که ثبت گردیده است. سپس ویژگی‌های فیزیکی و شیمیایی و ساختار دوبعدی توالی پروتئینی به دست آمده با استفاده از برنامه‌های اختصاصی موجود در پایگاه Swiss-Prot پیش‌بینی شده و با استفاده از بررسی‌های همولوژی و فیلوژنتیکی با تیوردوکسین‌های سایر گیاهان نشان می‌دهیم که ژن همسانه شده، تیوردوکسین نوع *h* بوده و به زیرگروه I تعلق دارد.

## مواد و روش‌ها

حبه‌های انگور مورد بررسی در این پژوهش از مرکز تحقیقات انگور سازمان تحقیقات کشاورزی و منابع طبیعی استان قزوین، واقع در شهر تاکستان تهیه گردید. ابتدا میوه‌ها از ناحیه اتصالشان به دمبرگ از خوشه جدا و سپس به میزان یک گرم حبه در داخل بسته‌های آلومینیومی قرار داده شدند. به منظور جلوگیری از اضمحلال احتمالی اسیدهای نوکلئیک موجود در بافت، نمونه‌ها بلافاصله در درون ازت مایع تثبیت و به آزمایشگاه منتقل شده و تا زمان مصرف در فریزر ۸۰- درجه سانتی‌گراد ذخیره گردیدند.

استخراج RNA کل به روش رید و همکاران (۲۰۰۶) و با اندکی تغییرات انجام شد. ابتدا بافر استخراج (300 mM Tris-HCl pH 8, 25 mM EDTA pH 8, 2% PVP, 2% CTAB, 2 M NaCl, 2%  $\beta$ -mercaptoethanol) در یک لوله آزمایش ۱۵ ml آماده گردید. ۰/۱ گرم بافت حبه توسط ازت مایع در هاون به صورت پودر درآمده و به میزان متعارف به یک لوله آزمایش ۲ ml حاوی ۱ ml بافر استخراج اضافه گردید و به شدت تکان داده شد. لوله‌ها به مدت ۳۰ دقیقه در حمام آب گرم ۶۵ درجه سانتی‌گراد قرار داده شدند. تمامی مراحل بعدی عملیات استخراج RNA، در دمای ۴ درجه سانتی‌گراد انجام گرفت. پروتئین‌ها دو مرتبه با یک حجم برابر از ترکیب کلروفرم: ایزو آمیل الکل (۲۴:۱ v/v) شستشو و به مدت ۵ دقیقه در دمای ۴ درجه سانتی‌گراد و با دور ۱۴۰۰۰ rpm جدید منتقل گردیده و سپس ۰/۱ حجم استات سدیم ۳ مولار و ۰/۶ حجم ایزوپروپانول، به منظور رسوب اسیدهای نوکلئیک به آن افزوده شد و چندین بار به آرامی سر و ته گردید. سپس به مدت ۳۰ دقیقه در دمای ۸۰- و یا ۱۲-۸ ساعت در دمای ۲۰- درجه سانتی‌گراد قرار گرفت. محلول مذکور به مدت ۳۰ دقیقه با دور ۱۴۰۰۰ rpm و در دمای ۴ درجه سانتی‌گراد سانتریفیوژ گردید و رسوب حاصله در ۲۰۰  $\mu$ l آب DEPC شده حل شد. مجدداً پروتئین‌ها یک مرتبه با یک حجم برابر از کلروفرم: ایزوآمیل الکل (۲۴:۱ v/v) شستشو و به مدت ۵

دقیقه در دمای ۴ درجه سانتی‌گراد با دور ۱۴۰۰۰ rpm سانتریفیوژ شدند. در مرحله بعد، ۰/۳ حجم لیتیوم کلراید ۸ مولار به نمونه‌ها اضافه گردید و لوله‌ها به مدت یک طول شب (۸-۱۲ ساعت) در دمای ۴+ درجه سانتی‌گراد نگهداری شدند. RNA کل به وسیله سانتریفیوژ با دور ۱۴۰۰۰ rpm به مدت ۳۰ دقیقه در دمای ۴ درجه سانتی‌گراد رسوب داده شد. رسوب RNA کل با استفاده از الکل اتانول ۷۰ درصد و به - کمک سانتریفیوژ با دور ۱۴۰۰۰ rpm به مدت ۵ دقیقه در دمای ۴ درجه سانتی‌گراد شسته شد. کمیت و کیفیت RNA کل با استفاده از دستگاه اسپکتروفتومتر در طول موج‌های ۲۳۰، ۲۶۰ و ۲۸۰ نانومتر و الکتروفورز ژل آگاروز ۱/۲٪ تعیین گردید.

برای سنتز رشته اول cDNA، واکنش نسخه‌برداری معکوس انجام گرفت. برای این آزمایش از ۵-۱/۱ میکروگرم RNA کل به همراه یک میکروگرم آغازگر Oligo- (18mer) RevertAid<sup>TM</sup> (Fermentas) و آنزیم نسخه‌بردار معکوس M-MuiV (Fermentas)، در حضور دزوکسی-ریبونوکلئوتیدهای تری فسفات (dATP، dTTP، dCTP و dGTP)، و دمای ۴۲ درجه سانتی‌گراد به مدت یک ساعت استفاده شد و پس از آن، عمل غیر فعال‌سازی آنزیم نسخه‌بردار معکوس (RT) در دمای ۷۰ درجه سانتی‌گراد و به مدت ۱۰ دقیقه انجام گرفت. بدین ترتیب رشته اول مولکول cDNA ساخته شده و از آن به‌عنوان الگو در واکنش PCR استفاده گردید.

به منظور طراحی آغازگرهای تصادفی و واکنش PCR از توالی DNA ژنومی ژن تیوردوکسین *h* انگور رقم پینوت نویر (*Vitis vinifera* L. cv. Pinot Noir) با نام *VvTRXh* و شماره دستیابی AM430243 در بانک ژن NCBI استفاده گردید (ولاسکو و همکاران، ۲۰۰۶). در طراحی آغازگرهای اختصاصی ژن *VvTRXh* و هم‌چنین محاسبه دمای ذوب آن‌ها از نرم‌افزار الیگو (نسخه ۶) استفاده شد. این آغازگرها براساس ابتدا و انتهای توالی ژن *VvTRXh*، به گونه‌ای طراحی شدند که محصول PCR حاصل از آن‌ها تمامی ناحیه رمز کننده این ژن را در برگیرد. برای انتخاب آنزیم برشی به‌منظور تسهیل در فرآیندهای همسانه‌سازی از نرم‌افزار آن لاین Restriction mapper. V3 استفاده گردید. پس از تبیین جایگاه برشی *KpnI* و به‌منظور افزایش بازده برش آنزیمی، ۳ نوکلئوتید به انتهای ۵' آغازگرها اضافه شد. به‌منظور افزایش بیان ژن، ۳ نوکلئوتید با توالی ACC که بخشی از توالی مورد توافق کزاک به شمار می‌رود، بین توالی برشی و توالی اتصال آغازگر با ژن

## نتایج و بحث

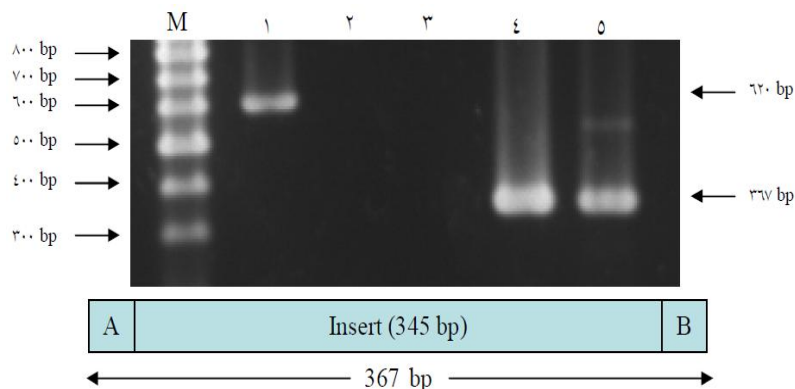
### جداسازی و همسانه سازی cDNA رمز کننده ژن تیوردوکسین *h*

cDNA رمز کننده ژن تیوردوکسین (*VvTrxh10*) *h* با استفاده از تکنیک RT-PCR از بافت حبه انگور، رقم یاقوتی، تهیه و در ناقل پلاسمیدی pUC19 همسانه سازی شد. بررسی ها با استفاده از تکنیک های PCR و هضم آنزیمی، دو کلونی نوترکیب را شناسایی کردند (شکل های ۱ و ۲). نتایج توالی یابی DNA و بررسی با نرم افزار ClustalW نشان داد که قطعه همسانه سازی شده، از بالا خانواده تیوردوکسین-های نوع *h* بوده و موقعیت قرارگیری آن روی جایگاه MCS ناقل پلاسمیدی در جهت معمولی می باشد که با نتایج به-دست آمده توسط هضم آنزیمی مطابقت دارد (شکل ۲).

cDNA رمز کننده ژن تیوردوکسین (*VvTrxh10*) حاوی یک چارچوب قرائت آزاد منفرد به طول ۳۴۵ bp بود که با کدون ATG آغاز شده و با کدون TGA خاتمه یافته و یک پروتئین با ۱۱۴ اسید آمینه را رمز می کرد که بیشترین اسید آمینه موجود در این پروتئین، اسید آمینه والین شناخته شد که ۱۴٪ از کل پروتئین را به خود اختصاص داد (شکل ۳ الف). با استفاده از برنامه SOPMA مشخص گردید که از این ۱۱۴ اسید آمینه، ۵۵ اسید آمینه (۴۸/۲۵٪) متعلق به مارپیچ آلفا، ۳۱ اسید آمینه (۲۷/۱۹٪) متعلق به مارپیچ بتا می باشد. فرمول مولکولی آن  $C_{573}H_{917}N_{155}O_{163}S_9$  و وزن مولکولی محاسبه شده و نقطه ایزوالکتریک پیش بینی شده این پروتئین به ترتیب برابر ۱۲/۸۷۴ کیلو دالتون و ۵/۴۰ بود و شاخص Aliphatic آن، به عنوان یک عامل مهم به منظور برآورد مقاومت پروتئین ها در برابر حرارت، ۹۸/۲۵ محاسبه گردید که نشان دهنده مقاوم بودن تیوردوکسین ها در برابر دما می باشد. شاخص Hydrophathy محاسبه شده به روش کیت و دولیتل (۱۹۸۲)، نشان داد که پروتئین *VvTrxh10*، به دلیل خاصیت احیاء کنندگی بالا، به میزان زیادی آب گریز بوده (شکل ۳ ب) و از مجموع کل اسیدهای آمینه، ۱۷ اسید آمینه با بار منفی (Asp+Glu) داشته، در حالی که تعداد کل اسیدهای آمینه با بار مثبت آن (Arg+Lys) برابر ۱۴ می باشد. هم چنین پیش بینی موقعیت زیرسولوی این پروتئین با برنامه های PSORT و WOLFPSORT نشان داد که برخلاف تعدادی از تیوردوکسین-های نوع *h* که محل فعالیت شان درون میتوکندری و شبکه آندوپلاسمی است (استین و همکاران، ۱۹۹۵؛ جلهای و همکاران، ۲۰۰۴؛ شاهپیری و همکاران، ۲۰۰۸؛ لپیستو و همکاران، ۲۰۰۹؛ هال و همکاران، ۲۰۱۰). پروتئین

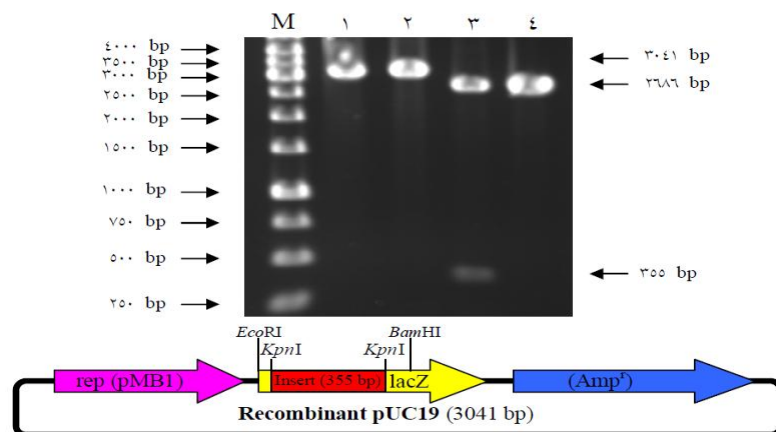
مورد نظر اضافه شد. در نتیجه با توجه به ابتدا و انتهای ژن *VvTRXh* و توالی های مذکور، آغازگرهای اختصاصی با توالی-های 5'-ATAGGTACCACCATGGCGGAAG-3' (آغازگر (آغازگر رفت، مطابق با توالی اسید آمینه ای (MAE) و 5'-TGTTGGTACCTCAAGCAGTTGCA-3' (آغازگر برگشت، مطابق با توالی اسید آمینه ای (HATA) و با سفارش شرکت ژن فن آوران از شرکت دانمارکی کوپنهاژن (Copenhagen-Denmark) تهیه گردید. واکنش PCR با استفاده از آنزیم *pfu* (Fermentas) و آغازگرهای اختصاصی در ۳۵ چرخه دمایی شامل: مرحله واسرشتگی در دمای ۹۴ درجه سانتی گراد و به مدت ۳۰ ثانیه، مرحله اتصال در دمای ۵۸ درجه سانتی گراد و به مدت یک دقیقه و مرحله تکثیر در دمای ۷۲ درجه سانتی گراد و به مدت یک دقیقه بود. هم-چنین مرحله واسرشتگی اولیه در دمای ۹۴ درجه سانتی گراد و به مدت ۳ دقیقه و مرحله تکثیر نهایی در دمای ۷۲ درجه سانتی گراد و به مدت ۱۰ دقیقه انجام گرفت. در نهایت، قطعه تکثیر شده، از روی ژل و با استفاده از کیت استخراج DNA، محصول شرکت فرمنتاز با شماره کاتالوگ K0513، خالص سازی شد.

واکنش اتصال با استفاده از آنزیم DNA لیگاز T4 انجام گرفت (همین و همکاران، ۲۰۱۰). پس از تهیه سلول-های مستعد *E. coli* سویه DH5α، جهت انتقال پلاسمید حاوی ژن از روش شوک حرارتی استفاده شد (کوهن و همکاران، ۱۹۷۲). استخراج پلاسمیدهای نوترکیب با استفاده از روش تحلیل قلیایی و SDS انجام گرفت (بیرن بوم و دولای، ۱۹۷۹) و کلونی های نوترکیب با استفاده از دو تکنیک PCR و هضم آنزیمی مورد بررسی قرار گرفتند. توالی یابی DNA پلاسمید نوترکیب با استفاده از آغازگرهای راه انداز باکتریوفاژ T7 در دو جهت رفت و برگشت توسط شرکت SeqLab (Sequence Laboratories Gottingen-Germany) انجام شد. توالی اسید آمینه ای به دست آمده به منظور یافتن پروتئین های مشابه در بانک های اطلاعاتی با استفاده از برنامه BLAST در مرکز ملی اطلاعات بیوتکنولوژی (NCBI) مورد جستجو قرار گرفت (جدول ۱). هم ردیف سازی چندگانه و درخت های فیلوژنتیکی با استفاده از نرم افزار ClustalW (<http://ClustalW.genome.ad.jp>) تهیه شدند. هم چنین ساختار ثانویه پروتئین به وسیله برنامه PSIPred و سایر ویژگی های ساختاری پروتئین با استفاده از برنامه های ProtParam، PSORT و ProtScale (<http://www.expasy.ch/tools/>) تعیین گردید.



شکل ۱: آزمون سریع کلونی های نو ترکیب با استفاده از تکنیک PCR الکتروفورز روی ژل آگارز ۱/۲ درصد. M) نشانگر مولکولی ۱۰۰ bp (۱، کنترل مثبت ۶۲۰ bp (DNA و آغازگرهای مربوط به شرکت fermentase)، ۲) کنترل منفی فاقد عصاره سلولی، ۳) عصاره سلولی باکتری *E. coli* غیر نو ترکیب، ۴ و ۵) کلونی های نو ترکیب. برای هر نمونه، ۵ μl از محصول PCR درون هر چاهک بارگذاری شده است. A) جایگاه برشی آنزیم *KpnI* (۶ bp) بانضمام توالی های اضافی دلخواه (۳ bp) و کزاک (۳ bp) بانضمام ۱۰ نوکلئوتید از آغازگر رفت که مجموعاً ۲۲ نوکلئوتید را شامل می شود. B) جایگاه برشی آنزیم *KpnI* (۶ bp) به همراه توالی اضافی دلخواه (۴ bp) بانضمام ۱۳ نوکلئوتید از آغازگر برگشت را در بر می گیرند که مجموعاً ۲۳ نوکلئوتید را شامل می شود.

Figure 1: Analysis of recombinant clones by PCR and 1.2% agarose gel electrophoresis. M) 100 bp DNA ladder; lane 1) positive control (620 bp); lane 2) negative control, lack of primers; lane 3) negative control, lack of template; lanes 4 and 5) recombinant clones carrying ORF fragment of the *VvTrxh10* gene. For each sample, 5 μl from PCR product has been loaded into each well. A) 22 nucleotides including: *KpnI* restriction site (6 bp), an addition of three nucleotides following Kozak sequence (3 bp) and forward primer (10 bp). B) 23 nucleotides including: *KpnI* restriction site (6 bp), an addition of four nucleotides and reverse primer (13 bp).



شکل ۲: تایید کلونی های نو ترکیب با استفاده از هضم آنزیمی و الکتروفورز روی ژل آگارز ۱/۲ درصد. M) نشانگر مولکولی ۱ Kb (۱) پلاسمید نو ترکیب هضم شده با آنزیم *BamHI* (۲) پلاسمید نو ترکیب هضم شده با آنزیم *EcoRI* (۳) پلاسمیدهای نو ترکیب هضم شده با آنزیم *KpnI* (۴) پلاسمید غیر نو ترکیب هضم شده با آنزیم *KpnI*.

Figure 2: Analysis of recombinant clones by enzymatic digestion and 1.2% agarose gel electrophoresis. M) 1 kb DNA ladder; 1) Recombinant plasmid digested by *BamHI*; 2) Recombinant plasmid digested by *EcoRI*; 3) Recombinant plasmid digested by *KpnI*; 4) Non-recombinant plasmid digested by *KpnI*.

جدول ۱: مشخصات توالی‌های پروتئینی موجود در NCBI مورد استفاده در بررسی‌های هم‌ردیف‌سازی چندگانه و روابط

فیلوژنتیکی

Table 1. The protein sequences characteristics on NCBI used for preparation of multiple alignment and construction of phylogenetic tree.

ردیف	نام عمومی گیاه	نام علمی	نام ژن	شماره دستیابی
1	Arabidopsis (آرابیدوپسیس)	<i>Arabidopsis thaliana</i>	<i>AtTrxh1</i>	Z35473
2	Grape (انگور)	<i>Vitis vinifera</i>	<i>VvTrxh1</i>	XM002280537
3	Grape (انگور)	<i>Vitis vinifera</i>	<i>VvTrxh2</i>	XM002274169
4	Grape (انگور)	<i>Vitis vinifera</i>	<i>VvTrxh3</i>	FN594959
5	Corn (ذرت)	<i>Zea mays</i>	<i>ZmTrxh1</i>	EU959205
6	Corn (ذرت)	<i>Zea mays</i>	<i>ZmTrxh2</i>	EU952330
7	Corn (ذرت)	<i>Zea mays</i>	<i>ZmTrxh3</i>	NM001112318
8	Rice (برنج)	<i>Oryza sativa</i>	<i>OsTrxh1</i>	AB053294
9	Wheat (گندم)	<i>Triticum aestivum</i>	<i>TaTrxh1</i>	AB053294
10	Wheat (گندم)	<i>Triticum aestivum</i>	<i>TaTrxh2</i>	AF420472
11	Soybean (سویا)	<i>Glycine max</i>	<i>GmTrxh1</i>	EU144127
12	Soybean (سویا)	<i>Glycine max</i>	<i>GmTrxh2</i>	BT090149
13	Rape (کلزا)	<i>Brassica napus</i>	<i>BnTrxh</i>	GI11135265
14	Tobacco (تنباکو)	<i>Nicotiana benthamiana</i>	<i>NbTrxh</i>	GQ354821
15	Sorghum (ذرت خوشه‌ای)	<i>Sorghum bicolor</i>	<i>SbTrxh1</i>	XM002461523
16	Sorghum (ذرت خوشه‌ای)	<i>Sorghum bicolor</i>	<i>SbTrxh2</i>	XM002463225
17	Pea (نخود فرنگی)	<i>Pisum sativum</i>	<i>PsTrxh1</i>	AY170650
18	Pea (نخود فرنگی)	<i>Pisum sativum</i>	<i>PsTrxh2</i>	XM002310794
19	Alfalfa (یونجه)	<i>Medicago truncatula</i>	<i>MtTrxh</i>	DQ121442
20	Poplar (صنوبر)	<i>Populus trichocarpa</i>	<i>PtTrxh1</i>	XM002307651
21	Poplar (صنوبر)	<i>Populus trichocarpa</i>	<i>PtTrxh2</i>	XM002310794
22	Castor oil (کرچک)	<i>Ricinus comunis</i>	<i>RcTrxh</i>	XM002534085
23	Sweet potato (سیب زمینی شیرین)	<i>Ipomoea batatas</i>	<i>IbTrxh</i>	AY344229
24	Red pepper (فلفل قرمز)	<i>Capsicum annum</i>	<i>CaTrxh</i>	AY496104
25	Aleppe oak (صنوبر سیتکا)	<i>Picea sitchensis</i>	<i>PisTrxh</i>	EF083689
26	Red gum (اکالیپتوس)	<i>Eucalyptus grandis</i>	<i>EgTrxh</i>	DQ227992
27	Rye grass (چچم)	<i>Lolium perenne</i>	<i>LpTrxh</i>	AF159387
28	Salvia (سالویا)	<i>Salvia miltiorrhiza</i>	<i>SmTrxh</i>	FJ217699
29	Iron wood (سیب مانگرو)	<i>Sonneratia alba</i>	<i>SaTrxh1</i>	GQ121962
30	Iron wood (سیب مانگرو)	<i>Sonneratia alba</i>	<i>SaTrxh2</i>	GQ121963
31	Fagopyrum (راش گندم)	<i>Fagopyrum esculentum</i>	<i>FeTrxh</i>	GI11135312
32	Orange (پرتقال)	<i>Citrus sinensis</i>	<i>CiTrxh1</i>	GQ853549
33	Potato (سیب زمینی)	<i>Solanum berthaulti</i>	<i>SoTrxh</i>	DQ 413184
34	Jatropha (جوزالقی)	<i>Jatropha curcas</i>	<i>JcTrxh</i>	FJ489602

نشده است (دروکس و همکاران ۱۹۸۷؛ دکوتینس و همکاران، ۱۹۹۰؛ کوهن و همکاران، ۱۹۹۳). وجود موتیف ساختاری مذکور، در انتقال سلول به سلول این پروتئین در بافت‌های مختلف گیاهی ضروری می‌باشد (پالیدو و همکاران، ۲۰۰۹). هم‌چنین تمام تیوردوکسین‌های نوع *h* که تاکنون شناسایی شده‌اند، دارای یک اسید آمینه تریپتوفان ویژه (W) می‌باشند که یک ضریب خاموشی تصاعدی را در حدود ۲۹۰ nm به تیوردوکسین‌ها می‌دهد (چیو و همکاران، ۲۰۰۸). این اسید آمینه به‌طور معمول در موقعیت ۱۶ توالی پروتئین-های سایر آیزوفرماهای تیوردوکسین *h* در گیاهانی چون انگور، ذرت، برنج، گندم و آرابیدوپسیس و پروتئین *VvTrxh10* حاصل از ژن همسانه سازی شده مشاهده

همان‌طور که در ادامه بیان خواهد شد، توالی پروتئینی ژن *VvTrxh10* نشان‌داد که این پروتئین با تیوردوکسین‌های نوع *h* سایر گیاهان شباهت زیادی دارد اما دارای یک جایگاه فعال غیر معمول (RCGLC (-Arg-Cys<sub>N</sub>- Gly-Leu-Cys<sub>C</sub>)) بوده که در هیچ‌کدام از ۳ زیرگروه از تیوردوکسین‌های نوع *h* مشاهده نمی‌شود. این امر می‌تواند بیان‌گر ایزوفرما کاملاً جدید و منحصر به فردی از خانواده تیوردوکسین‌های نوع *h* باشد. علاوه بر تیوردوکسین‌های نوع *h* زیرگروه I انگور، در توالی پروتئینی این ژن، موتیف ساختاری MAEE در ابتدای زنجیره مشاهده شد که فقط در تیوردوکسین‌های گیاهان عالی یافت می‌شود و در تیوردوکسین‌های باکتری‌ها، پستانداران و جلبک‌ها مشاهده

گردیده است (فورستر، ۲۰۰۷؛ سراتو و همکاران، ۲۰۰۸). به نظر می‌رسد توالی MAEE مشاهده شده در ابتدای زنجیره پروتئینی VvTrxh10 و سایر تیوردوکسین‌های نوع *h* زیرگروه I انگور، به جز آیزوفرم *VvTrxh1*، در انتقال پلاسمودسمایی نقش داشته باشد (جله‌ای و همکاران، ۲۰۰۴) که این فعالیت منحصر به فرد نیاز به بررسی‌های دقیق‌تری دارد.

بررسی ساختار دوم پروتئین VvTrxh10 با استفاده از برنامه PSIPred نشان داد که این پروتئین حاوی ۶ صفحه  $\beta$  و ۴ مارپیچ  $\alpha$  می‌باشند که به ترتیب  $\beta_1, \alpha_1, \beta_2, \alpha_2, \beta_3, \alpha_3, \beta_4$  و  $\beta_5, \beta_6, \alpha_4$  در ساختار دو بعدی پروتئین قرار می‌گیرند (شکل ۴). در بین صفحات  $\beta$ ، بلندترین صفحه مربوط به صفحات  $\beta_2$  و  $\beta_3$  و  $\beta_6$  با  $\beta_7$  اسید آمینه و کوتاه‌ترین صفحه مربوط به صفحه  $\beta_4$  با  $\beta_3$  اسید آمینه می‌باشد. هم‌چنین در بین مارپیچ‌های  $\alpha$ ، بلندترین و کوتاه‌ترین مارپیچ به ترتیب مربوط به  $\alpha_2$  با ۱۶ اسید آمینه و  $\alpha_3$  با ۷ اسید آمینه می‌باشد. جایگاه فعال RCGLC به علت دارا بودن دو سیستئین (C) در توالی خود، سبب تشکیل باند دی سولفیدی در پروتئین تیوردوکسین شده و عامل اصلی احیای دیگر پروتئین‌های سطح سلولی در چرخه ردوکس می‌گردد. ما بین انتهای کربوکسیل صفحه  $\beta_2$  و انتهای آمینوی مارپیچ  $\alpha_2$  به شکلی قرار گرفته است که اسیدهای آمینه Gly<sub>40</sub>، Leu<sub>41</sub> و Cys<sub>42</sub> در انتهای آمینوی مارپیچ  $\alpha_2$  واقع شده‌اند. اسید آمینه ویژه Trp<sub>16</sub>، چهارمین اسید آمینه مارپیچ  $\alpha_1$  را تشکیل داده و موتیف ساختاری MAEE انتهای آمینوی پروتئین نیز که عامل اصلی انتقال پلاسمودسمایی تیوردوکسین‌ها می‌باشد (شاه‌پیری و همکاران، ۲۰۰۹)، درون هیچ یک از صفحات  $\beta$  و مارپیچ‌های  $\alpha$  قرار نگرفته و تنها یک ساختار Coil را تشکیل می‌دهد، اما موتیف ساختاری KREE که مانند موتیف ساختاری MAEE در انتقال پلاسمودسمایی نقش دارد (شاه‌پیری و همکاران، ۲۰۰۹)، به گونه‌ای در بین صفحه  $\beta_6$  و مارپیچ  $\alpha_4$  قرار گرفته که اسیدهای آمینه Arg<sub>101</sub>-Glu<sub>102</sub>-Glu<sub>103</sub> انتهای آمینوی مارپیچ  $\alpha_4$  را تشکیل می‌دهند که با سایر نتایج به دست آمده مطابقت دارد (کزالیس و همکاران، ۲۰۰۶؛ جاتر و همکاران، ۲۰۰۸؛ شاه‌پیری و همکاران، ۲۰۰۸؛ هیمن و همکاران، ۲۰۱۰).

### هم‌ریدیف‌سازی چندگانه و روابط فیلوژنتیکی

بررسی هم‌ریدیفی با نرم‌افزار *stalwClu* نشان داد که ژن هم‌سانه‌سازی شده *VvTRXh10* با ژن‌های تیوردوکسین *h* سایر گیاهان شباهت نسبتاً زیادی دارد، به طوری که ژن

*alba Sonneratia* ۱۰ *VvTRXh* بیشترین تشابه را با گیاهان (*trichocarpa Populus* (۷۲٪)، (*mays Zea* (۷۷٪)، (*colorbi Sorghum* (۶۸٪)، (*sitchensis Picea* (۶۹٪)، (*max Glycine* (۶۸٪) و کمترین تشابه را با گیاه *communis Ricinus* (۵۴٪) نشان داد (شکل ۵). تاکنون چندین آیزوفرم از ژن تیوردوکسین *h* در گیاه انگور شناسایی شده‌اند که در جدول شماره ۲ نشان داده شده است. تیوردوکسین‌های *h* به سه زیر گروه مختلف I، II و III تقسیم بندی می‌شوند که از نظر جایگاه فعال، انتهای زنجیره اسید آمینه، ساختار اولیه پروتئینی، موقعیت زیرسولی و احتمالاً نوع کارکرد با هم متفاوتند (جله‌ای و همکاران، ۲۰۰۴؛ جوارز و همکاران، ۲۰۰۶). به منظور تعیین زیرگروه ژن هم‌سانه‌سازی شده (*VvTrxh10*)، بررسی فیلوژنتیکی با استفاده از تیوردوکسین‌های *h* گیاهان مختلف انجام شد (شکل ۶). ژن هم‌سانه سازی شده (*VvTrxh10*) به همراه ایزوفرم‌های *VvTrxh1*، *VvTrxh2* و *VvTrxh3* از گیاه انگور، *GmTrxh1* و *GmTrxh2* از گیاه سویا، *PtTrxh1* و *PtTrxh2* از گیاه صنوبر، *CiTrxh1* و *CiTrxh2* از پرتقال، *SaTrxh1* و *SaTrxh2* از سیب مانگرو و *PsTrxh1* و *PsTrxh2* از گیاه نخود، *SbTrxh1* و *SbTrxh2* از گیاه سورگوم و ژن‌های *NbTrxh*، *RcTrxh*، *EgTrxh*، *MtTrxh*، *BnTrxh*، *AtTrxh1*، *SmTrxh*، *CaTrxh*، *IbTrxh* که به ترتیب متعلق به گیاهان آرابیدوپسیس، کلزا، یونجه، اوکالپیتوس، کرچک روغنی، توتون، سالوبا، فلفل قرمز و سیب‌زمینی شیرین هستند، در زیرگروه اول (I) از تیوردوکسین‌ها دسته‌بندی می‌شوند. اما ایزوفرم‌های *ZmTrxh1*، *ZmTrxh2* و *ZmTrxh3* از گیاه ذرت، *TaTrxh1* و *TaTrxh2* از گیاه گندم، *OsTrxh1* از گیاه برنج و *SoTrxh* از گیاه سیب‌زمینی متعلق به زیر گروه دوم (II) می‌باشند. هم‌چنین دو ایزوفرم *LpTrxh* و *PisTrxh* به ترتیب از گیاهان چچم و صنوبر سیتکا در زیرگروه سوم (III) از تیوردوکسین‌ها جای می‌گیرند.

نتایج توالی‌یابی DNA و بررسی‌ها با نرم افزار Blastn و ClustalW صحت قطعه هم‌سانه سازی شده را تایید نمود. بررسی فیلوژنتیکی به روش دندروگرام نشان داد که ژن هم‌سانه سازی شده *VvTRXh10* به زیرگروه I تعلق داشته و همان‌طور که بررسی‌های ترتیب توالی نیز نشان داد، بیشترین شباهت را با ایزوفرم‌ها *VvTRXh1*، *VvTRXh2* و *VvTRXh3* انگور نشان می‌دهند. بدین ترتیب می‌توان نتیجه گرفت که ژن شناسایی شده، آیزوفرم جدیدی از ژن تیوردوکسین *h* گیاه انگور بوده که با توجه به داده‌های پایگاه اطلاعاتی

شناسایی، همسانه سازی و تحلیل ساختار ژن تیورودوکسین (*VvTrxh10*) جدا ...

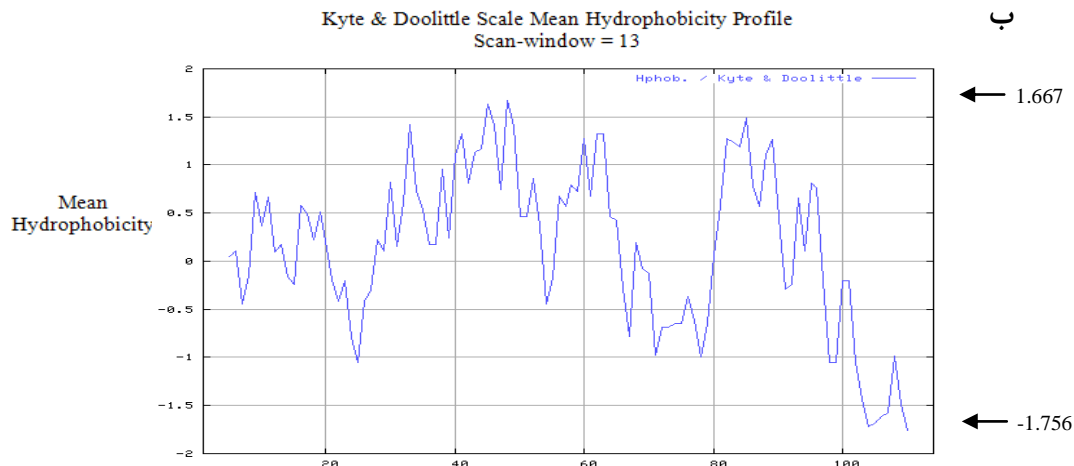
ژن تیورودوکسین *h* همسانه سازی شده در ناقل پلاسمیدی pUC19 در تحقیقات ملکولی آتی، با انتقال آن به گیاهان مدل و مطالعه اثرات آن مورد استفاده قرار خواهد گرفت.

www.swissprot.com و نرم افزار WOLFP SORT موجود در این پایگاه، محل فعالیت آن احتمالاً در داخل سیتوسول می باشد و در تنظیم ردوکس سلولی نقش خود را ایفا می کند.

### الف

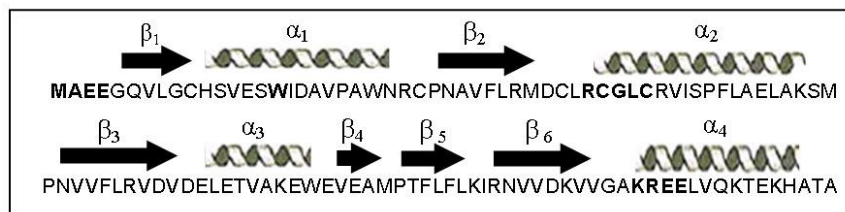
```

atggcggagaggggacaagtctcggttgccacagtggtggaatcgtggattgatgcagttccagcatggaatagatgtcct
M A E E G Q V L G C H S V E S W I D A V P A W N R C P
aatgctgtatttctcaggatggactgcttaggtgtggactgtgtcggtgtcattagcccatttctggcagagcttgccaag
N A V F L R M D C L R C G L C R V I S P F L A E L A K
agtatgcctaattgctgatttctcagggtggatgtggatgaattggagactgttgctaaggagtggaagtggaggccatg
S M P N V V F L R V D V D E L E T V A K E W E V E A M
ccaaccttctgttctgaaaataagaaacgtagtggacaaggtgtgggtgcaaaaagagaagaactggtgcagaagaca
P T F L F L K I R N V V D K V V G A K R E E L V Q K T
    
```



شکل ۳: بررسی توالی ژن *VvTrxh10*. الف) توالی نوکلئوتیدی و پروتئینی. توالی های نوکلئوتیدی و پروتئینی مشخص شده با کادر، نشان دهنده موتیف های ساختاری درگیر در انتقال سلول به سلول، توالی نوکلئوتیدی و پروتئینی مشخص شده بصورت پررنگ، نشان دهنده جایگاه فعال و اسید آمینه مشخص شده با علامت مثلث، تریپتوفان ویژه می باشند. ب) بررسی شاخص Hydrophobic توالی پروتئین *VvTrxh10*. دومین های آب گریز در بالا و دومین های آب دوست در زیر خط توپر قرار دارند.

Figure 3: cDNA and deduced amino acid sequences, and Hydrophobic index of *VvTrxh10*. A) Nucleotide and deduced amino acid sequences of *VvTrxh10*. The potential structural motifs involved in cell-to-cell transfer (MAEE and KREE) and putative active site sequence (RCGLC) are indicated in italic and bold, respectively. The characteristic tryptophan (W16) is also distinguished by triangle. B) Hydrophobic index analysis of *VvTrxh10* deduced amino acid sequence. Hydrophobic domains are indicated by positive numbers; hydrophobic domains are above the line, and hydrophilic domains are below.



شکل ۴: ساختار دوبعدی پروتئین *VvTrxh10* با استفاده از برنامه PSIPred. جایگاه فعال، موتیف های ساختاری درگیر در انتقال سلول به سلول و اسید آمینه تریپتوفان ویژه بصورت پررنگ نشان داده شده اند.

Figure 4: Predicted secondary structure of *VvTrxh10* using the PSIPred program. The potential structural motifs involved in cell-to-cell transfer and the characteristic tryptophan are indicated in bold.



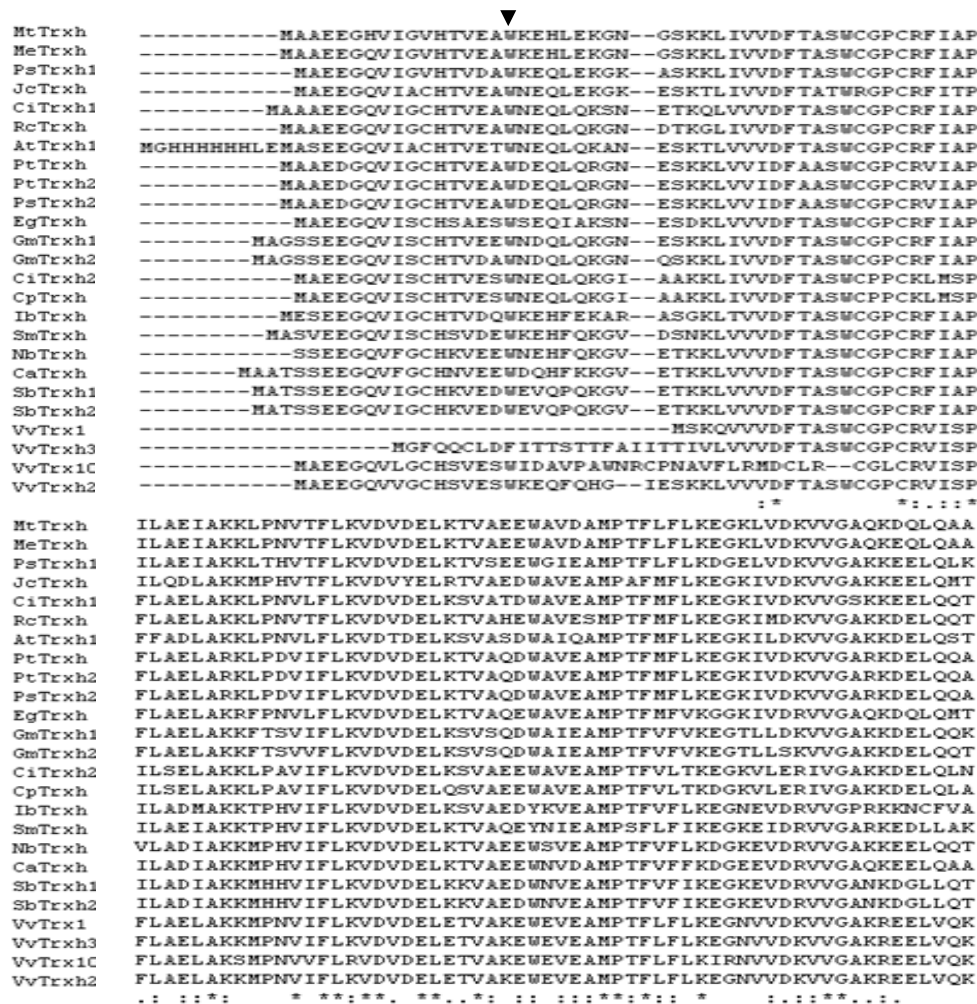
تشکر و قدردانی

و سپاس را داریم. هم‌چنین از آقای مهندس رضا حیدری که در بخش نرم افزاری تدوین مقاله مساعدت لازم را مبذول داشتند، سپاسگزاری می‌گردد.

از همکاری و مساعدت مرکز تحقیقات انگور، واقع در شهر تاکستان در امر تهیه مواد گیاهی مورد نیاز کمال تشکر

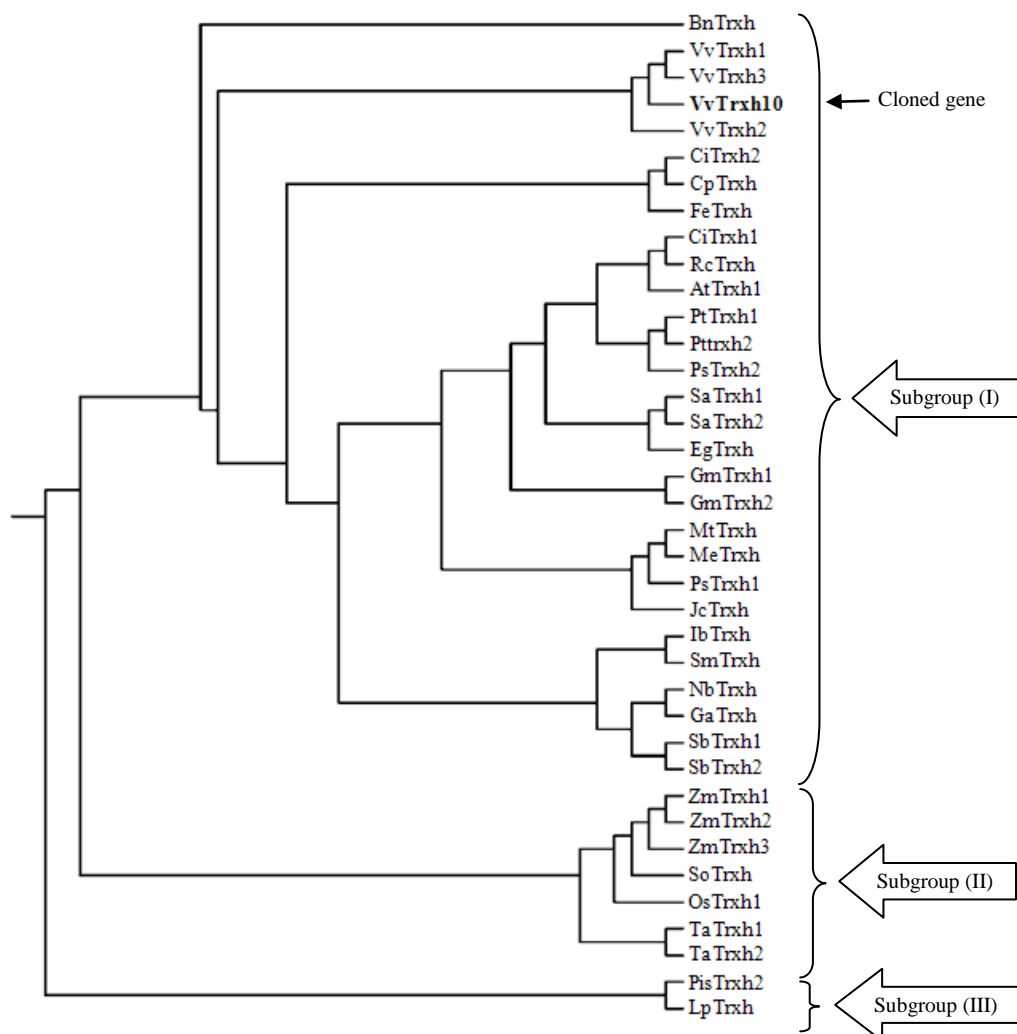
جدول ۲: آیزوفرم‌های ژن تیوردوکسین *h* و مشخصات کلی آن‌ها در گیاه انگور  
Table 2. The characteristics of different isoforms of Trx *h* gene in grape.

نام ژن	شماره دستیابی	بافت مورد استفاده	رقم مورد استفاده	زیر گروه	منبع
<i>VvTrxh1</i>	CF216136	Stem	Cabernet Sauvignon	(I)	Da Silva (2005)
<i>VvTrxh2</i>	CB348011	Berry	Cabernet Sauvignon	(I)	Da Silva (2005)
<i>VvTrxh3</i>	CF513794	Bud	Cabernet Sauvignon	(II)	Da Silva (2005)
<i>VvTrxh4</i>	CF473629	Leaf	Chardonnay	(II)	Gelhay et al. (2004)
<i>VvTrxh5</i>	CB004453	Leaf	Chardonnay	(III)	Cramer and Cushman (2002)
<i>VvCXXS</i>	CF204852	Leaf	Chardonnay	(III)	Gelhay et al. (2004)
<i>VvTrxh</i>	AM430243	Berry	Pinot Noir	(I)	Velasco et al. (2006)



شکل ۵: هم‌ردیف‌سازی چندگانه پروتئینی ژن *VvTrxh10* همسانه سازی شده با سایر ایزوفرم‌های انگور و گیاهان دیگر از زیرگروه I با استفاده از نرم افزار Clustalw. جایگاه فعال، موتیف‌های ساختاری درگیر در انتقال سلول به سلول با کادر و اسیدآمیننه تربیتوفان ویژه با علامت مثلث نشان داده شده‌اند. شماره دستیابی توالی‌های پروتئینی در جدول ۱ آورده شده است.

Figure 5. Multiple sequence alignment of cloned *VvTrxh10* gene with other grape isoforms and selected Trxs *hI* from different sources using ClustalW. The potential structural motifs involved in cell-to-cell transfer were shown by box and the characteristic tryptophan is also distinguished by triangle. Accession numbers are given in Table 1.



شکل ۶: درخت فیلوژنتیکی رسم شده ژن همسانه سازی شده (*VvTrxh10*) با سایر آیزوفرم‌های گیاهان به منظور تعیین زیرگروه ژن همسانه سازی شده با استفاده از نرم افزار Clustalw. خلاصه مشخصات و شماره دستیابی توالی‌های پروتئینی در جدول ۱ آورده شده است.

Figure 6: Phylogenetic analysis of cloned *VvTrxh10* gene with other grape isoforms and Trxs *h* from different plants to determine subgroup of cloned *VvTrxh10* gene using ClustalW. Accession numbers are given in Table 1.

#### منابع:

جهت ملاحظه منابع به صفحه‌های ۵۵-۵۶ متن انگلیسی مراجعه شود.

## Identification, Cloning and Characterization of a Thioredoxin *h* (*VvTrxh10*) Gene Isolated from Grape (*Vitis vinifera* L.) cv. Yaquti Berry Tissue

Mussavi<sup>1</sup>, S, S., Haddad<sup>2\*</sup>, R., Garousi<sup>2</sup>, Gh. and Hosseini<sup>2</sup>, R.

### Abstract

Total RNA was extracted from grape (*Vitis vinifera* L.) cv. Yaquti berry tissue to characterize a thioredoxin *h* gene (*VvTrxh10*). A cDNA library was synthesized using reverse transcription polymerase chain reaction (RT-PCR). Then, the *VvTrxh10* gene was amplified, isolated and cloned in a pUC19 vector plasmid. Nucleotide sequence analysis revealed that the cloned cDNA expressed thioredoxin and contained a single open reading frame of 345 bp encoding a protein of 114 amino acid residues. Predicted protein sequence analysis showed that this gene contains a nongeneral catalytic site RCGLC, characteristic tryptophan (W) and potential structural motif involving cell-to-cell transfer (MAEE) in N-terminal. Phylogenetic and alignment studies revealed that such isoform belongs to the subgroup I from *h* thioredoxins group. Moreover, relevant predicted protein exhibited a high similarity with the other plant thioredoxins *h* gene in the NCBI gene bank.

**Keywords:** Grapevine, Thioredoxin *h*, Cloning, Sequence analysis, Yaquti cultivar

### References

- Balmer, Y., Vensel, W. H., Cai, N., Manieri, W., Schurmann, P. and Hurkman, W. J. 2006. A complete ferredoxin/thioredoxin system regulates fundamental processes in amyloplasts. *The National Academy of Sciences of the USA* 8: 2988-2993.
- Birnboim, H. C. and Doly, J. 1979. A rapid alkaline procedure for screening recombinant plasmid DNA. *Nucleic Acid Research* 7: 1513-1525.
- Buchanan, B. B. 1991. Regulation of the CO<sub>2</sub> assimilation in oxygenic photosynthesis: the ferredoxin/thioredoxin system. *Archives of Biochemistry and Biophysics* 288: 1-9.
- Cazalis, R., Pulido, P., Aussenac, T., Perez-Ruiz, J. M. and Cejudo, F. J. 2006. Cloning and characterization of three thioredoxin *h* isoforms from wheat showing differential expression in seeds. *Journal of Experimental Botany* 57: 2165-2172.
- Cha, M. K., Kim, H. K. and Kim, I. H. 1995. Thioredoxin-linked 'thiol peroxidase' from periplasmic space of *Escherichia coli*. *Journal of Biological Chemistry* 270: 28635-28641.
- Chew, E., Lu, J., Bradshaw, T. D. and Holmgren, A. 2008. Thioredoxin reductase inhibition by antitumor quinols: a quinol pharmacophore effect correlating to antiproliferative activity. *Medical Nobel Institute for Biochemistry* 6: 2072-2083.
- Chibani, K., Wingsle, G., Jacquot, J., Gelhaye, E. and Rouhier, N. 2009. Comparative genomic study of the thioredoxin family in photosynthetic organisms with emphasis on *Populus trichocarpa*. *Molecular Plant* 2: 308-322.
- Cho, M. J., Wong, J. H., Marx, C., Jiang, W., Lemaux, P. G. and Buchanan, B. 1999. Overexpression of thioredoxin *h* leads to enhanced activity of starch debranching enzyme (pullulanase) in barley grain. *PNAS* 96: 14641-14646.
- Cohen, G., Yanko, M., Mislovati, M., Argaman, A., Schreiber, R., Av-Gay, Y. and Aharonowitz, Y. 1993. Thioredoxin-thioredoxin reductase system of *Streptomyces clavuligerus*: sequences, expression, and organization of the genes. *Journal of Bacteriology* 175: 5159-5167.
- Cohen, S. N., Chang, A. C. Y. and Hsu, L. 1972. Nonchromosomal antibiotic resistance in bacteria genetic transformation of *Escherichia coli* by R-factor DNA. *Proc. Natl. Acad. Sci.* 69: 2110-2114.
- Cramer, G. R. and Cushman, J. C. 2002. Chardonnay and cv. Cabernet Sauvignon and their responses to water deficit and salinity. *Genome Research*. 12: 231-240.
- Da Silva, F. G. 2005. Characterizing the grape transcriptome. Analysis of expressed sequence tags from multiple *vitis* species and development of a compendium of gene expression during berry development. *Journal of biological chemistry* 10: 510-521.
- Decottignies, P., Schmitter, J. M., Jacquot, J. P., Dutka, S., Picaud, A. and Gadal, P. 1990. Purification, characterization and complete amino acid sequence of a thioredoxin from a green alga *Chlamydomonas reinhardtii*. *Archives of Biochemistry and Biophysics* 280: 112-121.
- Droux, M., Jacquot, J. P., Miginiac-Maslow, M., Gadal, P., Huet, J. C., Crawford, N. A., Yee, B. C. and Buchanan, B. B. 1987. Ferredoxin-thioredoxin reductase: an iron-sulfur enzyme linking light to enzyme regulation in oxygenic photosynthesis. Purification and properties of the enzyme from cyanobacterial species. *Archives of Biochemistry and Biophysics* 252: 426-439.

1. Graduate in MSc of Agricultural Biotechnology, Department of Agricultural Biotechnology, Imam Khomeini International University, Qazvin, IR of Iran.

2. Assistant Professor, Department of Agricultural Biotechnology, Imam Khomeini International University, Qazvin, IR of Iran, P. O. Box: 34149-288 Tel: 0281- 8371165, Fax: 3780073.

\*: Corresponding author

- Foerster, H. T. 2007. *Arabidopsis thaliana* col Pathway: thioredoxin pathway. *Molecular Biology* 4: 1357-1363.
- Gelhaye, E., Rouhier, N., Gerard, J., Jolivet, Y., Gualberto, J., Navrot, N., Ohlsson, P., Wingsle, G., Hirasawa, M., Knaff, D. B., Wang, H., Dizengremel, P., Meyer, Y. and Jacquot, J. 2004. A specific form of thioredoxin *h* occurs in plant mitochondria and regulates the alternative oxidase. *PNAS* 101: 14545-14550.
- Hagglund, P. H., Bunkenborg, J., Maeda, K. and Svensson, B. 2008. Identification of thioredoxin disulfide targets using a quantitative proteomics approach based on isotope-coded affinity tags. *Proteome Research*. 12: 5270-5276.
- Hall, M., Mata-Cabana, A., Akerlund, H. E. and Florencio, F. J. 2010. Thioredoxin targets of the plant chloroplast lumen and their implications for plastid function. *Proteomics* 10: 572-583.
- Hashemy, S. I., Ungerstedt, J. S., Zahedi, A. F. and Holmgren, A. 2006. Thioredoxin reductase and ribonucleotide reductase. *Journal of biological chemistry* 281: 10691-10697.
- Heyman, J. A., Cornthwaite, J. and Foncerrada, L. 2010. Frames using topoisomerase mediated ligation genome-scale cloning and expression of individual open reading. *Genome Research* 9: 383-392.
- Juarez, D. J., McClure, B., Vazquez, S. S., Guevara, G. A., Leon, M. P., Marquez, G. J. and Cruz, G. F. 2006. A novel thioredoxin *h* is secreted in *Nicotiana glauca* and reduces S-RNase *in vitro*. *Biology Chemistry* 6: 3418-3424.
- Juttner, J., Olde, D., Langridge, P. and Baumann, U. 2008. Cloning and expression of a distinct subclass of plant thioredoxins. *European Journal of Biochemistry* 267: 7109-7117.
- Kyte, J. and Doolittle, R. F. 1982 A simple method for displaying the hydropathic character of a protein. *Journal Molecular Biology* 157: 105-132.
- Lepisto, A., Kangasjarvi, S., Luomala, E. M., Brader, G., Sipari, N., Keranen, M., Keinanen, M. and Rintamaki, E. 2009. Chloroplast NADPH-thioredoxin reductase interacts with photoperiodic development in *Arabidopsis*. *Plant Physiology* 149: 1261-1276.
- Li, Y. C., Ren, J. P., Cho, M. J., Zhou, S. M., Kim, Y. B., Guo, H. X., Wong, J. H., Niu, H. B., Kim, H. K., Morigasaki, S., Lemaux, P. G., Frick, O. L., Yin, J. and Buchanan, B. B. 2009. The level of expression of thioredoxin is linked to fundamental properties and applications of wheat seeds. *Molecular Plant* 3: 430-441.
- Maeda, K., Hagglund, P., Finnie, C., Svensson, B. and Henriksen, A. 2008. Crystal thioredoxin *h* isoforms HvTrxh1 and HvTrxh2 reveal features involved in protein recognition and possibly in discriminating the isoform specificity. *Protein Science*. 6: 1015-1024.
- Pulido, P., Cazalis, R. and Cejudo, F. J. 2009. An antioxidant redox system in the nucleus of wheat seed cells suffering oxidative stress. *Plant Journal* 1: 132-145.
- Reid, K. E., Niclas, O., James, S., Fred, P. and Steven, T. L. 2006. An optimized grapevine RNA isolation procedure and statistical determination of reference genes for real-time RT-PCR during berry development. *BMC Plant Biology* 6: 27-35.
- Sandalova, T., Zhong, L., Lindqvist, Y., Holmgren, A. and Schneider, A. 2001. Three-dimensional structure of a mammalian thioredoxin reductase: Implications for mechanism and evolution of a selenocysteine-dependent enzyme. *PNAS* 98: 9533-9538.
- Serrato, A. J., Guillemot, J., Meyer, Y. and Vignols, F. 2008. *AtCXXS*: atypical members of the *Arabidopsis thaliana* thioredoxin *h* family with a remarkably high disulfide isomerase activity. *Physiology Plant* 3: 611-622.
- Shahpiri, A., Svensson, B. and Finnie, C. 2008. The NADPH-dependent thioredoxin reductase/thioredoxin system in germinating barley seeds: gene expression, protein profiles, and interactions between isoforms of thioredoxin *h* and thioredoxin reductase. *Plant Physiology* 146: 789-799.
- Shahpiri, A., Svensson, B. and Finnie, C. 2009. From proteomics to structural studies of cytosolic/mitochondrial-type thioredoxin systems in barley seeds. *Molecular Plant* 1-12.
- Sheng, Z. W., Fen, L. Y., Wu, Z. S. and Bao, X. X. 2007a. Changes in proteins within germinating seeds of transgenic wheat with an antisense construct directed against the thioredoxin. *National Engineering Research Center for Wheat* 1: 18-24.
- Sheng, Z. W., Fen, L. Y., Wu, Z. S. and Bao, X. X. 2007b. Effects of antisense-thioredoxin *s* gene on expression of endogenous thioredoxin *h* gene in transgenic wheat seed. *National Engineering Research Center for Wheat* 4: 325-332.
- Stein, M., Jacquot, J. P., Jeannette, E., Decottignies, P., Hodges, M., Lancelin, J. M., Mittard, V., Schmitter, J. M. and Miginiac, M. 1995. *Chlamydomonas reinhardtii* thioredoxins: structure of the genes coding for the chloroplastic *m* and cytosolic *h* isoforms; expression in *Escherichia coli* of the recombinant proteins, purification and biochemical properties. *Plant Molecular Biology* 28: 487-503.
- Velasco, R., Dematte, L. and Toppo, S. 2006. Coping with a heterozygous genome: the Pinot Noir whole genome sequencing. *Molecular Plant* 10: 619-628.
- Wang, X. L., Wayne, B. L., Yuan, Y. X., Wang, Y., Wei, Y., Theodore, A. C., Lopez, B. L., Liu, H. and Liang, M. 2010. Methylglyoxal increases cardiomyocyte ischemia/reperfusion injury via glycation inhibition of thioredoxin activity. *Physiology Endocrinology Metabolism* 10: 473-481.
- Zhong, L. and Holmgren, A. 2000. Essential role of selenium in the catalytic activities of mammalian thioredoxin reductase revealed by characterization of recombinant enzymes with selenocysteine. *Journal of Biological Chemistry* 275: 18121-18128.

To look at the figures and tables, please refer to the Persian text (pages: 17-26= ۱۷-۲۶).